

7. Алексеенко С. В., Накоряков В. Е., Покусаев Б. Г. Волнообразование при течении пленки жидкости на вертикальной стенке.— ПМТФ, 1979, № 6.
8. Шкадов В. Я. Волновые режимы течения тонкого слоя вязкой жидкости под действием силы тяжести.— Изв. АН СССР. МЖГ, 1967, № 1.
9. Шкадов В. Я. Уединенные волны в слое вязкой жидкости.— Изв. АН СССР. МЖГ, 1977, № 1.
10. Шкадов В. Я. К теории волновых течений тонкого слоя вязкой жидкости.— Изв. АН СССР. МЖГ, 1968, № 2.
11. Цвелодуб О. Ю. Стационарные бегущие волны на вертикальной пленке жидкости.— В кн.: Волновые процессы в двухфазных средах. Новосибирск: ИТФ СО АН СССР, 1980.
12. Цвелодуб О. Ю. Солитоны на стекающей пленке при умеренных расходах жидкости.— ПМТФ, 1980, № 3.
13. Гапонов В. А. Пакет подпрограмм быстрого преобразования Фурье с приложениями к моделированию случайных процессов. Препринт 14—76. Новосибирск: ИТФ СО АН СССР, 1976.
14. Накоряков В. Е., Покусаев Б. Г., Алексеенко С. В. Десорбция слаборастворимого газа из стекающих волновых пленок жидкости.— В кн.: Расчет тепломассообмена в энергохимических процессах. Новосибирск: ИТФ СО АН СССР, 1981.
15. Накоряков В. Е., Покусаев Б. Г., Алексеенко С. В. Стационарные двумерные каптирующиеся волны на вертикальной пленке жидкости.— ИФЖ, 1976, т. 30, № 5.

Поступила 25/VI 1984 г.

УДК 532.582

## О ДВИЖЕНИИ КРУГОВОГО ЦИЛИНДРА В ВИБРИРУЮЩЕЙ ЖИДКОСТИ

*B. L. Сеницкий*

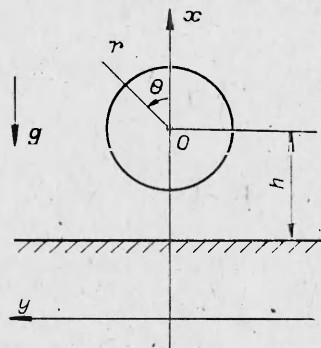
(Новосибирск)

В [1] изложены качественные результаты экспериментов с вибрирующими жидкостями и твердыми телами. В частности, указано, что тело, помещенное в цилиндрический сосуд с жидкостью, плотность которой больше, чем плотность тела, может тошнуть, если сосуд совершает колебания вдоль своей оси. В связи с этим в данной работе рассматривается плоская задача о движении в поле силы тяжести кругового цилиндра, находящегося в идеальной несжимаемой жидкости, ограниченной извне плоской поверхностью колеблющейся стенки (см. фигуру). Первоначально жидкость и цилиндр покоятся. В последующие моменты времени течение жидкости потенциально и симметрично относительно оси  $x$ , цилиндр движется поступательно. Найдены условия, при выполнении которых цилиндр, плотность которого меньше, чем плотность окружающей его жидкости, не всплывает, а тонет.

1. Пусть  $x$ ,  $y$  — инерциальная система прямоугольных координат в плоскости течения;  $i$  и  $j$  — единичные векторы, направления которых совпадают соответственно с направлениями осей  $x$  и  $y$ ;  $t$  — время;  $a$  — радиус цилиндра;  $O(L, 0)$  — точка пересечения плоскости течения с осью цилиндра;  $h$  — расстояние от точки  $O$  до линии пересечения плоскости течения с поверхностью стенки ( $h > a$ );  $h_0$  — значение  $h$  при  $t = 0$ ;  $H = L - h$ ;  $\hat{x} = x - H$ ;  $r = \sqrt{(\hat{x} - h)^2 + y^2}$ ;  $\theta$  — угол с вершиной в точке  $O$  между векторами  $i$  и  $(\hat{x} - h)i + yj$ ;  $\rho_{\text{ц}}$  — плотность цилиндра;  $\rho_{\text{ж}}$  — плотность жидкости;  $f$  — произвольная функция от  $t$ ;  $g = -gi$  — ускорение свободного падения.

Будем рассматривать течение жидкости и движение цилиндра относительно системы координат  $x$ ,  $y$ , связанной со стенкой. Потенциал  $\Phi$  скорости течения, давление  $p$  и расстояние  $h$  удовлетворяют следующим уравнениям и условиям:

$$(1.1) \quad \frac{\partial \Phi}{\partial t} + \frac{1}{2} \left( \frac{\partial \Phi}{\partial \hat{x}} \right)^2 + \frac{1}{2} \left( \frac{\partial \Phi}{\partial y} \right)^2 + \frac{p}{\rho_{\text{ж}}} + \left( g + \frac{d^2 H}{dt^2} \right) \hat{x} = f;$$



- $$(1.2) \quad \partial^2\Phi/\partial\hat{x}^2 + \partial^2\Phi/\partial y^2 = 0;$$
- $$(1.3) \quad \partial\Phi/\partial\hat{x} = 0 \text{ при } \hat{x} = 0;$$
- $$(1.4) \quad \partial\Phi/\partial y = 0 \text{ при } y = 0, 0 \leq \hat{x} \leq h - a \text{ и } y = 0, \hat{x} \geq h + a;$$
- $$(1.5) \quad \frac{\partial\Phi}{\partial\hat{x}} \cos\theta + \frac{\partial\Phi}{\partial y} \sin\theta = \frac{dh}{dt} \cos\theta \text{ при } r = a;$$
- $$(1.6) \quad \partial\Phi/\partial\hat{x} \rightarrow 0, \partial\Phi/\partial y \rightarrow 0 \text{ при } \hat{x}^2 + y^2 \rightarrow \infty;$$
- $$(1.7) \quad d^2h/dt^2 = F/(\pi a^2 \rho_{\text{п}}) - g - d^2H/dt^2;$$
- $$(1.8) \quad h = h_0, dh/dt = 0 \text{ при } t = 0,$$

где

$$(1.9) \quad F = -a \int_{-\pi}^{\pi} p|_{r=a} \cos\theta d\theta.$$

2. Рассмотрим задачу (1.2) — (1.6). Переходя в (1.2) — (1.6) к биполярным координатам  $\eta, \xi$ , связанным с  $\hat{x}, y$  равенствами

$$(2.1) \quad \hat{x} = \sqrt{h^2 - a^2} \frac{\sin\eta}{\operatorname{ch}\eta - \cos\xi}, \quad y = \sqrt{h^2 - a^2} \frac{\sin\xi}{\operatorname{ch}\eta - \cos\xi},$$

получим

$$(2.2) \quad \partial^2\Phi/\partial\eta^2 + \partial^2\Phi/\partial\xi^2 = 0;$$

$$(2.3) \quad \partial\Phi/\partial\eta = 0 \text{ при } \eta = 0, \xi \neq 0;$$

$$(2.4) \quad \partial\Phi/\partial\xi = 0 \text{ при } \xi = \pm\pi \text{ и } \xi = 0, \eta \neq 0;$$

$$(2.5) \quad \frac{\partial\Phi}{\partial\eta} = a \sqrt{h^2 - a^2} \frac{a - h \cos\xi}{(h - a \cos\xi)^2} \frac{dh}{dt} \text{ при } \eta = \eta_0;$$

$$(2.6) \quad (1 - \operatorname{ch}\eta \cos\xi) \frac{\partial\Phi}{\partial\eta} - \operatorname{sh}\eta \sin\xi \frac{\partial\Phi}{\partial\xi} \rightarrow 0,$$

$$- \operatorname{sh}\eta \sin\xi \frac{\partial\Phi}{\partial\eta} + (\operatorname{ch}\eta \cos\xi - 1) \frac{\partial\Phi}{\partial\xi} \rightarrow 0 \text{ при } \eta^2 + \xi^2 \rightarrow 0,$$

где

$$(2.7) \quad \eta_0 = \operatorname{arctg} \frac{h + \sqrt{h^2 - a^2}}{a}.$$

Функции  $\eta = \eta(\hat{x}, y)$ ,  $\xi = \xi(\hat{x}, y)$  осуществляют отображение области течения с разрезом вдоль отрезка  $0 \leq \hat{x} \leq h - a$ ,  $y = 0$  на прямоугольник  $0 \leq \eta \leq \eta_0$ ,  $-\pi \leq \xi \leq \pi$ . Применяя метод разделения переменных и используя равенство

$$(2.8) \quad \int_{-\pi}^{\pi} \frac{h \cos\xi - a}{(h - a \cos\xi)^2} \cos m\xi d\xi = \frac{2m\pi}{a} e^{-m\eta_0} \text{ при } m = 0, 1, \dots,$$

найдем следующее решение задачи (2.2) — (2.6):

$$(2.9) \quad \Phi = -2 \sqrt{h^2 - a^2} \frac{dh}{dt} \sum_{m=1}^{\infty} \frac{\operatorname{ch} m\eta_0 \cos m\xi}{e^{m\eta_0} \operatorname{sh} m\eta_0} + \varphi,$$

где  $\varphi$  — произвольная функция от  $t$ . Равенствами (2.1), (2.7), (2.9) определяется решение задачи (1.2) — (1.6).

Подставим (2.9) в (1.1). Используя полученное в результате этого соотношение и (1.9), (2.1), (2.5), (2.8), найдем

$$(2.10) \quad F = \pi a^2 \rho_{\text{п}} \left[ g + \frac{d^2 H}{dt^2} + f_1 \frac{d^2 h}{dt^2} + f_2 \bar{a}^{-1} \left( \frac{dh}{dt} \right)^2 \right],$$

где

$$(2.11) \quad f_1 = -4 \operatorname{sh}^2 \eta_0 \sum_{m=1}^{\infty} a_m, \quad a_m = m e^{-2m\eta_0} \operatorname{cth} m\eta_0;$$

$$(2.12) \quad f_2 = 2 \operatorname{sh} \eta_0 \sum_{m=1}^{\infty} b_m + 4 \operatorname{sh} \eta_0 (\operatorname{ch}^2 \eta_0 + 1) \sum_{m=1}^{\infty} c_m - \frac{\operatorname{ch} \eta_0}{\operatorname{sh}^2 \eta_0},$$

$$b_m = m e^{-2m\eta_0} \operatorname{cth} m\eta_0 [m \operatorname{cth} m\eta_0 + (m+1) e^{-\eta_0} \operatorname{ch} \eta_0 \operatorname{cth} (m+1)\eta_0],$$

$$c_m = m e^{-2m\eta_0} (m - \operatorname{cth} \eta_0) \operatorname{cth} m\eta_0.$$

Ряды в (2.11), (2.12) и их остатки удовлетворяют следующим неравенствам:

$$(2.13) \quad \sum_{m=N}^{\infty} a_m < \left( N + \frac{1}{2} \right) \operatorname{cth}^3 \frac{\varepsilon}{2} e^{-2N\eta_0},$$

$$\sum_{m=N}^{\infty} b_m < 2(N+2)^2 \operatorname{cth}^5 \frac{\varepsilon}{2} e^{-2N\eta_0},$$

$$\left| \sum_{m=N}^{\infty} c_m \right| < (N+2)^2 \operatorname{cth}^4 \frac{\varepsilon}{2} e^{-2N\eta_0} \quad \text{при } \eta_0 > \varepsilon,$$

где  $N = 1, 2, \dots$ ;  $\varepsilon$  — любое положительное число.

Отметим, что действия над рядами, произведенные при получении (2.9) и (2.10), являются допустимыми ввиду выполнения соответствующих достаточных условий [2].

3. Пусть  $T$  — период колебаний стенки;

$$(3.1) \quad H = A_0 + \sum_{m=1}^{\infty} \left( A_m \cos 2m\pi \frac{t}{T} + B_m \sin 2m\pi \frac{t}{T} \right),$$

$A_0, A_m, B_m$  — постоянные,

$$(3.2) \quad A_0 + \sum_{m=1}^{\infty} A_m = 0, \quad \sum_{m=1}^{\infty} m B_m = 0;$$

$A$  — наибольшее значение  $|H|$ . Согласно (2.7), (2.11)–(2.13), имеем

$$(3.3) \quad f_1 = - \left[ 1 + \frac{a^2}{2h^2} + O \left( \frac{a^4}{h^4} \right) \right], \quad f_2 = \frac{a^3}{2h^3} \left[ 1 + O \left( \frac{a^2}{h^2} \right) \right] \quad \text{при } \frac{a}{h} \rightarrow 0.$$

Используя (2.10), (3.1), (3.3), найдем, что при не зависящем от времени  $L$ ,  $A \geq a$  и  $A/L \rightarrow 0$  выполняется равенство

$$F = \pi a^2 \rho_{ж} g \left[ \bar{f} + \tilde{f} + O \left( \frac{a^2 A^3}{L^4 g T^2} \right) \right],$$

$$\text{где } \bar{f} = 1 - \frac{\pi^2 k A^2 a^2}{L^3 g T^2}, \quad k = A^{-2} \sum_{m=1}^{\infty} m^2 (A_m^2 + B_m^2);$$

$$\tilde{f} = \sum_{m=1}^{\infty} \left( \tilde{A}_m \cos 2m\pi \frac{t}{T} + \tilde{B}_m \sin 2m\pi \frac{t}{T} \right), \quad \tilde{A}_m, \tilde{B}_m \text{ — постоянные. При } \rho_{ж} <$$

$< \rho_{ж}$  сумма не зависящей от времени силы  $\pi a^2 \rho_{ж} g \bar{f}$  и силы тяжести  $-\pi a^2 \rho_{ж} g$ , действующих на единицу длины цилиндра, отрицательна, если

$$\pi^2 k A^2 a^2 \rho_{ж} / [L^3 (\rho_{ж} - \rho_{п}) g T^2] > 1.$$

Этот результат указывает на то, что при достаточно малых значениях  $T$  круговой цилиндр, плотность которого меньше, чем плотность жидкости, в которой он находится, может не всплывать, а тонуть.

4. Рассмотрим задачу (1.7), (1.8), (2.7), (2.10)–(2.12). При  $\rho_{\text{п}} = \rho_{\text{ж}}$  она имеет решение  $h = h_0$ . Пусть

$$(4.1) \quad \rho_{\text{п}} \neq \rho_{\text{ж}}, \quad a/h_0 \rightarrow 0, \quad A/h_0 \rightarrow 0, \quad \mu \rightarrow 0,$$

$$aA/(\mu h_0^2) = \alpha, \quad A/a > \beta, \quad h/h_0 > \gamma,$$

где  $\mu = h_0^{-1/2} g^{1/2} T$ ;  $\alpha, \beta, \gamma$  — положительные числа ( $\gamma < 1$ ). Используя (1.7), (2.10), (3.3), получим следующее приближенное уравнение:

$$(4.2) \quad \frac{d^2 h}{dt^2} = -\kappa \left( \tilde{s} + \frac{d^2 H}{dt^2} \right) \left( 1 - \lambda \frac{a^2}{h^2} \right) + \lambda \frac{a^2}{h^3} \left( \frac{dh}{dt} \right)^2,$$

где  $\kappa = (\rho_{\text{п}} - \rho_{\text{ж}})/(\rho_{\text{п}} + \rho_{\text{ж}})$ ;  $\lambda = \rho_{\text{ж}}/[2(\rho_{\text{п}} + \rho_{\text{ж}})]$ .

Будем решать задачу (1.8), (4.2) методом усреднения [3, 4]. Применяя подстановку

$$(4.3) \quad h = h_0 z - \kappa H + \kappa \lambda a^2 H / (h_0 z)^2, \quad t = T\tau,$$

приведем (4.2) к системе уравнений в стандартной форме:

$$(4.4) \quad dz/d\tau = \mu Z,$$

$$dZ/d\tau = \mu \kappa \{ \alpha^2 \kappa \lambda A^{-2} [2H d^2 H/d\tau^2 + (dH/d\tau)^2] z^{-3} - 1 \}.$$

Используя (4.1), (4.3) и полученное ниже равенство, определяющее зависимость  $z$  от  $\tau$ , можно проверить, что члены, отброшенные при переходе от (4.2) к (4.4), малы по сравнению с членами, сохраненными в (4.4). В первом приближении метода усреднения

$$(4.5) \quad z = \bar{z}, \quad Z = \bar{Z},$$

где  $\bar{z}, \bar{Z}$  — решение системы уравнений

$$(4.6) \quad \bar{dz}/d\tau = \mu \bar{Z}, \quad d\bar{Z}/d\tau = -\mu \kappa (2\pi^2 \alpha^2 \kappa \lambda k \bar{z}^{-3} + 1),$$

которая получается из уравнений (4.4) путем усреднения их по явно содержащемуся безразмерному времени  $\tau$  (см. [3, 4]). Ограничиваюсь этим приближением, используя (4.5), (4.6), получим

$$(4.7) \quad d^2 z/d\tau^2 = \mu^2 \kappa (\sigma z^{-3} - 1),$$

$$\text{где } \sigma = -2\pi^2 \alpha^2 \kappa \lambda k.$$

Согласно (1.8), (3.1), (3.2), (4.3), имеем

$$(4.8) \quad z = 1, \quad dz/d\tau = 0 \text{ при } \tau = 0.$$

Интегрируя (4.7) и используя (4.8), найдем

$$(4.9) \quad \frac{1}{V^2} \int_1^z \frac{sds}{\sqrt{\kappa(1-s)\left(s^2 - \frac{\sigma}{2}s - \frac{\sigma}{2}\right)}} = \begin{cases} \mu\tau & \text{при } 0 < \sigma < 1, \\ -\mu\tau & \text{при } \sigma < 0 \text{ и } \sigma > 1; \end{cases}$$

$$z = 1 \text{ при } \sigma = 1.$$

Отметим, что

$$(4.10) \quad \text{при } \sigma > 0 \quad \rho_{\text{п}} < \rho_{\text{ж}},$$

$$\text{при } \sigma < 0 \quad \rho_{\text{п}} > \rho_{\text{ж}}.$$

Из (4.9) следует, что при  $0 < \sigma < 1$   $z$  монотонно возрастает, а при  $\sigma < 0$  и  $\sigma > 1$   $z$  монотонно убывает с ростом  $\tau$ . Таким образом, если  $a/h_0, A/h_0, \mu$  малы, а  $A/a$  не мало по сравнению с единицей, и  $\sigma > 1$ , то, согласно (4.3), (4.9), (4.10), круговой цилиндр, плотность которого меньше, чем плотность жидкости, в которой он находится, тонет.

## ЛИТЕРАТУРА

- Челомей В. Н. Парадоксы в механике, вызываемые вибрациями.— ДАН СССР, 1983, т. 270, № 1.
- Фихтенгольц Г. М. Курс дифференциального и интегрального исчисления. М.: Наука, 1970, т. 2.
- Боголюбов Н. Н., Митропольский Ю. А. Асимптотические методы в теории нелинейных колебаний. М.: Наука, 1974.
- Митропольский Ю. А. Метод усреднения в нелинейной механике. Киев: Наук. думка, 1971.

Поступила 10/IV 1984 г.

УДК 532.526

## СЖИМАЕМЫЙ ЛАМИНАРНЫЙ ПОГРАНИЧНЫЙ СЛОЙ НА ПЛОСКОЙ ТРЕУГОЛЬНОЙ ПЛАСТИНЕ С ПРИСОЕДИНЕННОЙ УДАРНОЙ ВОЛНОЙ

B. H. Ветлуцкий, T. B. Поплавская  
(Новосибирск)

1. При сверхзвуковом обтекании треугольной пластины справедливо разбиение течения за ударной волной на невязкое и пограничный слой, если числа Рейнольдса достаточно велики. На фиг. 1 по [1–5] представлена диаграмма режимов течения (на сфере с центром в вершине пластины) около треугольной пластины под углом атаки. Классификация дана как по характеру течения в окрестности передних кромок (режимы *A*, *B*), так и по наличию и положению особых линий тока на поверхности пластины (режимы 1–3).

Режиму *A* соответствует сверхзвуковая передняя кромка, режиму *B* — дозвуковая. При этом головная ударная волна присоединена к вершине пластины и невязкое течение коническое. Существует еще режим, при котором головная ударная волна отходит от вершины пластины и течение становится существенно трехмерным. Однако мы ограничимся рассмотрением лишь конических течений.

На режиме 1 как в случае сверхзвуковой, так и дозвуковой передней кромки разделяющая поверхность тока приходит на кромку. Поперечная компонента скорости направлена от передних кромок к плоскости симметрии, где на поверхности пластины с наветренной и подветренной стороной располагается по одной линии стекания. С увеличением угла атаки коническая разделяющая поверхность тока разворачивается к плоскости симметрии. Начиная с некоторого момента, когда она подходит к поверхности пластины ортогонально, дальнейшее увеличение угла атаки приводит к ее перемещению в направлении плоскости симметрии (режим 2), причем угол подхода к пластине, как показано в [6], сохраняется прямым. В этом режиме имеются две линии растекания, расположенные на поверхности пластины. Начиная с некоторого угла атаки линии растекания сливаются с линией стекания, и далее реализуется режим 3 с одной линией растекания с наветренной стороны и с одной линией стекания с подветренной стороны.

Строго говоря, коническое течение в указанных режимах может иметь место, лишь когда влияние задней кромки не распространяется вверх по потоку. А это реализуется, если компонента вектора скорости вдоль конической образующей сверхзвуковая. В противном случае коническое течение можно рассматривать лишь как приближенное в окрестности вершины пластины. В [7] показано, что для узких пластин режим 3 в указанном смысле может сохраняться до углов атаки порядка  $90^\circ$ , когда течение с наветренной стороны вдоль конической образующей направлено к вершине пластины.

Если угол между передней кромкой пластины и плоскостью симметрии больше угла Маха набегающего потока, то при увеличении угла атаки от нулевого до предельного пластина проходит все представленные на фиг. 1 режимы течения. В противном случае реализуются все режимы течения, кроме *A1*.

Невязкое обтекание плоской треугольной пластины на режиме *A1* исследовано в [8], где приведены подробные таблицы полей течения с наветренной и подветренной стороной в широком диапазоне чисел Маха и углов стреловидности. В [3, 5, 9] выполнен расчет конического обтекания пластины и профилированных крыльев на режимах *B1*, *B2*. Для расчета пограничного слоя на пластине необходимо знать на его внешней границе распределение давления, одну компоненту скорости (лучше поперечную) и значение энтропийной функции. К сожалению, приведенные в этих работах результаты не позволяют использовать их для расчета пограничного слоя. Поля невязкого обтекания треугольной пластины на режиме *B3* получены в [10, 11].

В случае конического внешнего течения уравнения пространственного пограничного слоя допускают автомодельное решение, зависящее от двух независимых пе-